

# БУДІВНИЦТВО

УДК 519.642 : 624.044 : 624.15

А. С. Моргун, к. т. н., доц.,  
І. В. Пішенін, студ.;  
І. А. Моргун, студ.

## ОЦІНКА ТОЧНОСТІ РОЗРАХУНКУ НАПРУЖЕНОГО СТАНУ ОСНОВИ ПІД ШТАМПОМ ЗА МЕТОДОМ ГРАНИЧНИХ ЕЛЕМЕНТІВ

Дано оцінку точності визначення напружене-деформованого стану основи під штампом за методом граничних елементів.

### Вступ

Питання числового моделювання процесу статичного навантаження фундаментних конструкцій все ще залишаються актуальною задачею сьогодення. Стаття присвячена моделюванню взаємодії штампа з ґрунтовою основою за числовим методом граничних елементів (МГЕ). Апарат МГЕ найбільш підходить до розв'язання лінійних задач теорії пружності, тому для нелінійної задачі механіки ґрунтів використано квазілінійну постановку, в цьому випадку стає природним застосування методу пружних розв'язків О. А. Ілюшина в формі додаткових навантажень, які забезпечують переміщення, що рівні переміщенням нелінійного ґрунту із заданим навантаженням.

Постановка задачі, визначальні співвідношення

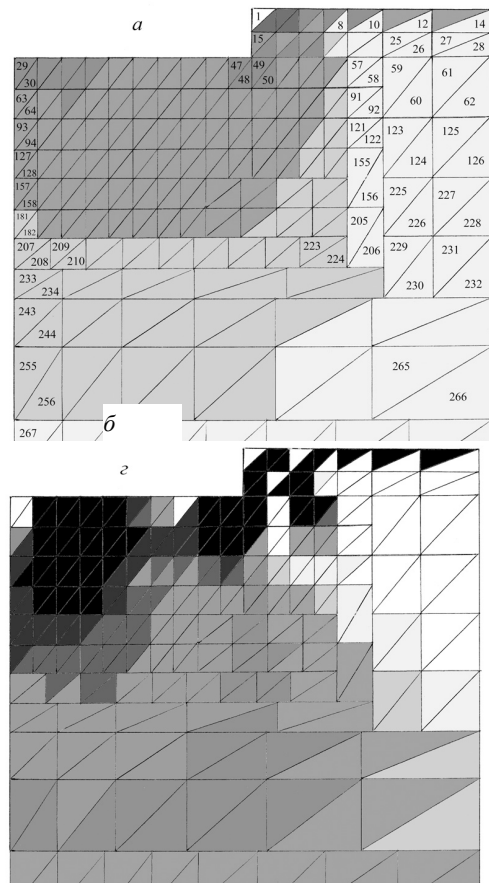


Рис. 1.

© А. С. Моргун, І. В. Пішенін, І. А. Моргун, 2005

Оскільки числовий МГЕ — наближений метод математичної фізики, то з його використанням виникає необхідність знання не лише його положень і формальних процедур, але й такого атрибуту, як оцінка точності. Це можна зробити шляхом порівняння результатів розрахунку за МГЕ з рішеннями наявних аналітичних методів. Таке зіставлення було проведено на прикладі числового моделювання за МГЕ задачі заглиблення в умовах плоскої деформації жорсткого штампа  $40 \times 40 \times 4$  см в ґрунтову основу (експериментальні дослідження наведено в [1]), з аналітичним розв'язком цієї задачі за методикою В. В. Соколовського [2].

Для прогнозування поведінки ґрунту за МГЕ в граничному стані та з метою врахування дилатансійних ефектів ґрунту до розрахункового інтегрального рівняння рівноваги [3] додавалися: а) — критерій переходу до граничного стану (перехід ґрунту до граничного стану характеризували умовою Мізеса—Губера—Боткіна, як такою, що відповідає реальним властивостям ґрунтів і, яка не надто складна для практичного використання); б) — взаємозв'язок між  $\sigma_{ij} - \varepsilon_{ij}$  під час роботи ґрунту в нелінійній стадії описував неасоційований закон пластичної течії.

На рис. 1 зображені поля напружень під штампом в момент: а) — завершення ущільнення основи; б) — на етапі утворення «ущільненого ядра». На рис. 2 показано

інтегральний графік «навантаження-осідання», отриманий із даних числового моделювання та за експериментом [1].

Під час дослідження полів напружень та деформацій, системи «штамп-основа» багатошарове середовище ґрунту розглядалося як еквівалентне квазіоднорідне середовище із середньозваженими характеристиками ґрунту. При розрахунку враховано дію основних факторів, що впливають на несучу здатність штампа. До вхідних параметрів розрахункової дилатансійної моделі входять вісім основних фізико-механічних параметрів ґрунту ( $E$ ,  $v$ ,  $\rho$ ,  $\rho^{\min}$ ,  $\rho^{\max}$ ,  $c$ ,  $\phi$ ,  $p_0$ ) та 12 вхідних параметрів, що описують геометрію та топологію конструкції штампа та дискретизацію активної зони

ґрунту ( $L_{\text{штампа}}$ ,  $G_E$  кількість,  $G_B$  кількість, координати  $G_B$ , зв'язність  $G_B$ , координати  $G_B$  по колу, зв'язність  $G_B$  по колу, кількість кроків навантаження, кроки навантаження, кількість осередків, координати осередків, номер подвійного вузла). Активну зону ґрунту дискретизували 292 трикутні осередки, густину яких було збільшено в місці очікуваного збільшення градієнта напружень (безпосередньо під штампом).

Покрокове числове моделювання за МГЕ процесу статичного навантаження штампу дало можливість відстежити формування «ущільненого ядра», яке, переходячи в граничний стан, постійно змінює свої обриси (рис. 1). У фазі зсувів під штампом йде перерозподіл напружень з менш жорстких зон під краями на центральну частину, більш жорстку, і осідання штампу збільшується швидше, ніж навантаження, графік залежностей  $u = f(P)$  викривлюється (рис. 2).

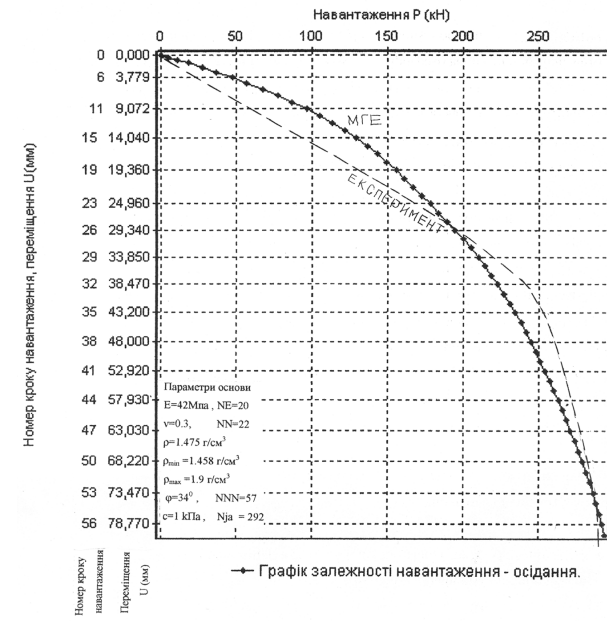


Рис. 2.

Для контролю достовірності даних числового моделювання полів напружень за МГЕ проведено зіставлення з результатами аналітичного розрахунку цієї задачі за методикою В. В. Соколовського, побудовано сітки ліній ковзання (рис. 3). В 1942 році В. В. Соколовський отримав аналітичний розв'язок змішаної краєвої задачі втиснення жорсткого штампу за відсутності тертя між підошвою і пружною ізотропною півплощиною. В цій плоскій задачі до диференційних рівнянь рівноваги ґрунту в граничному стані для однозначності розв'язку додано критерій текучості Мора-Кулона, та відповідні граничні умови. В результаті була отримана система диференційних рівнянь. Задача

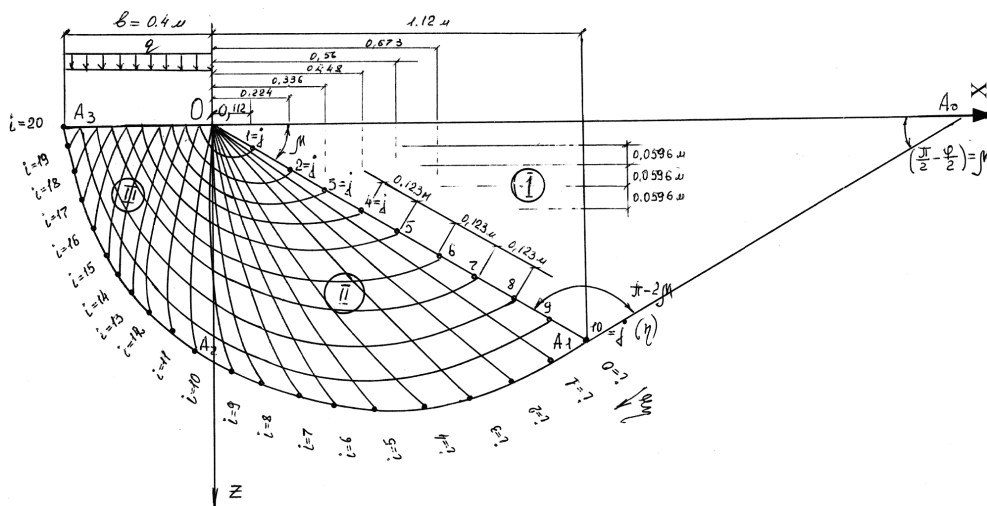


Рис. 3.

була розв'язана з використанням методу характеристик та методу скінчених різниць [2]. Для

отримання аналітичного розв'язку В. В. Соколовським було проведено ряд підстановок, що привели основну розрахункову систему до простішого вигляду: були введені нові змінні  $\theta$ ,  $\sigma$ , пошук яких замінявся визначенням нових невідомих характеристик  $\xi$ ,  $\eta$  — відображені функції, які в кожній точці йдуть уздовж напрямків максимальних дотичних напружень.

З введенням кута  $\theta$  рівняння ліній ковзання (або ліній зсувів), які мають ті ж кути нахилу, що і характеристика  $\xi$ ,  $\eta$  подаються в диференціальній формі:

— криві першого сімейства, що мають в кожній точці нахил  $\frac{dz}{dx} = \operatorname{tg}(\theta - \mu)$ , мають назву  $\eta$ -характеристик (рис. 3);

— криві другого сімейства, що мають нахил в кожній точці  $\frac{dz}{dx} = \operatorname{tg}(\theta + \mu)$ , мають назву  $\xi$ -характеристик, де  $\mu = \pi/4 - \varphi/2$ ,  $\varphi$  — кут зсуву. Обвідні ліній ковзання дають лінію розриву безперервності (границю «пластичної» та «жорсткої» зони) (рис. 3).

Використані в розрахунку рекурентні формули для визначення  $\theta$ ,  $\sigma$ ,  $\xi$ ,  $\eta$  наведено в [2]. Величини вертикальних напружень в точках (0,1), (1,1), (2,1),..,(11,1) (рис. 3) порівняно з аналогічним розрахунком за МГЕ, показані в таблиці

**Поля напружень  $\sigma_{ij}^z$  (кПа) під штампом за МГЕ та розрахунком  
за методикою В. В. Соколовського ( $j = 1$ )**

i	0	1	2	3	4	5	6	7	8	9	10	11
$\sigma_{ij}^z$ (кПа) за МГЕ	7,51	10,67	17,18	19,61	22,93	6,8	30,63	36,7	39,6	43,21	44,41	49,3
$\sigma_{ij}^z$ (кПа) за В. В. Соколовським	8,1	11,8	16,2	17,9	20,2	25,6	29,03	35,8	37,5	41,97	46,1	50,3
Коефіцієнт кореляції	0,84	0,85	1,06	1,095	1,08	1,04	1,05	1,025	1,05	1,029	0,96	0,98

#### Висновки

Несуча спроможність фундаментів часто недовикористовується через відсутність надійних методів прогнозування їх поведінки в граничному стані. Зіставлення результатів розрахунків поведінки основи за МГЕ з аналітичним розрахунком та експериментом підтверджують можливість використаної дилатансійної моделі описувати поведінку основ за МГЕ адекватно експериментальним даним та розрахунком за методикою В. В. Соколовського.

#### СПИСОК ЛІТЕРАТУРИ

1. А. Л. Крыжановский, Ю. И. Харин. Использование закона Кулона в решении задач предельного состояния основания // Основания, фундаменты и механика грунтов. — М.: Стройиздат, 1984, вып. 7. — С. 24—27.
2. В. В. Соколовский. Теория пластичности. — М.: Высшая школа, 1969. — 608 с.
3. А. С. Моргун. Моделювання взаємодії штампа з дилатансійним середовищем ґрунту за МГЕ // Вісник ВПІ. — 2003. — № 3. — С. 25—28.

Рекомендована кафедрою промислового та цивільного будівництва

Надійшла до редакції 30.12.04  
Рекомендована до друку 11.02.05

**Моргун Алла Серафимівна** — доцент кафедри промислового та цивільного будівництва; **Пішенін Іван Володимирович** — студент Інституту будівництва, енергетики та газопостачання; **Моргун Іван Анатолійович** — студент Інституту інформаційних технологій та комп'ютерної інженерії

Вінницький національний технічний університет